

터널 건조기의 건조특성에 관한 연구

Drying Characteristics of Batch-type Tunnel Dryer

황규준* 고학균* 홍지향* 김종순*
정회원 정회원
K.J. Hwang H.K. Koh J.H. Hong J.S. Kim

1. 서론

고추는 대부분 수확후 건조과정을 거쳐 건고추로 유통되어 소비되며, 수확 직후 함수율은 80%(wb) 이상으로 건조에는 많은 에너지와 시간이 소요된다. 현재 국내의 고추건조는 대부분 소형의 상자형 배치식 화력건조기를 이용하여 농가 개별적으로 이루어지고 있으나, 이러한 방법은 건조과정에서 많은 노동력이 요구될뿐 아니라 건조비용의 상승을 초래하고 있으며, 구조상 건조시스템의 자동화, 대형화에 부적합하다. 따라서, 주산지별로 대형의 고추건조시스템을 개발하고 점차적인 건조공정의 자동화를 이루어 나가기 위해 터널건조기의 이용이 요구되고 있다.

터널건조기는 크게 배치식(batch type), 병류식(concurrent flow), 향류식(counter current flow)으로 구분되며, 특히 배치식 터널건조기는 구조가 간단하여 제작 비용이 저렴하고 자동화, 대형화가 용이하다는 장점이 있다. 현재 전세계적으로 배치식 터널건조기가 다양한 농수산물의 건조에 널리 이용되고 있는 추세이나 건조특성에 관한 연구는 미흡한 실정이다. 최근 터널건조기의 성능분석에 관한 연구들이 수행되고 있으나 아직 초보적인 수준에 머물러 있다.

강정문(1998)은 가공용 고추 건조시스템에 터널건조기를 이용할 것을 제시하고 적합한 건조조건을 찾기 위하여 전처리 방법과 온도를 변화하여 실험을 하였으며, Lee 등(1993)은 터널건조기를 이용한 무 절편의 최적 건조조건을 찾기 위한 연구를 수행하였다. 국외에서는 자두, 포도, 파파야 등의 건조에 사용되는 터널건조기의 최적화에 관한 연구들이 다수 수행되었다. Kiranoudis(1996,1998)는 반 배치식 터널형 포도건조기의 설계와 최적화에 관한 연구에서 트럭(truck) 단위로 평형식을 세워 시뮬레이션을 수행하였다. Soponronnarit 등(1997)은 배치식 터널건조기를 이용한 파파야 절편의 건조과정을 최적화하기 위하여 상자형 건조모델을 적용하였으며, 터널을 공기 흐름방향으로 여러 개의 얇은 단면(thin layer)으로 나누어 평형식을 세웠다.

본 연구는 추후 국내에서 각종 농산물의 건조에 널리 이용될 것으로 예상되는 배치식 터널건조기를 이용한 고추의 기본적인 건조특성에 관해 알아보고 기존의 상자형 건조기와 건조특성을 비교하는 것을 목적으로 하였다. 고추의 상자형 건조모델은 이미 개발되었으므로 (조용진, 1991) 실험 회수를 줄이기 위하여 건조모델의 예측 결과를 상자형 건조실험 대신

* 서울대학교 농업생명과학대학 생물자원공학부

비교자료로 이용하였다. 또한 상자형 건조의 시뮬레이션 모델을 터널형 건조에 적용할 수 있는가의 여부에 대해서도 살펴보고자 한다.

2. 재료 및 방법

2.1 공시재료

본 실험에 사용된 고추는 충북 괴산에서 1998년 수확된 영웅, 풍촌, 부광 품종이며, 수확 후 합수율은 약 84%(wb)였다. 고추는 실험기간중 온도 3°C, 상대습도 90% 조건의 저온저장고에 보관되었으며, 실험 전 상온에 약 12시간 노출하였다.

2.2 실험장치

공시기는 1997년 서울대학교 농산가공시스템 연구실에서 제작된 배치식 터널건조기이다. 제작된 터널건조기에서 유입풍속이 불균일하고 속도편차가 크게 나타나므로 소형의 실험용 터널을 제작하여 건조기 내에 설치하여 건조실험을 수행하였다.

2.3 실험내용

터널건조기에서 온도, 질량유동 및 트레이 간격의 변화가 건조속도에 미치는 영향을 알아보기 위한 실험과 트레이 밑면을 통한 건조효과를 알아보기 위한 별도의 실험을 실시하였다. 설정온도 3조건(60, 70, 80°C), 질량유동 4조건(1962, 2825, 3296, 3767kg/hr m³) 및 트레이 간격변화 2조건(4, 11cm)에서 건조실험을 수행하였다. 트레이는 그림 1과 같이 터널 내에 3층으로 설치하였으며 트레이 간격변화시는 중간층을 제거하였다. 고추는 겹치지 않도록 적재하여 산물밀도가 57kg/m³이 되도록 하였다.

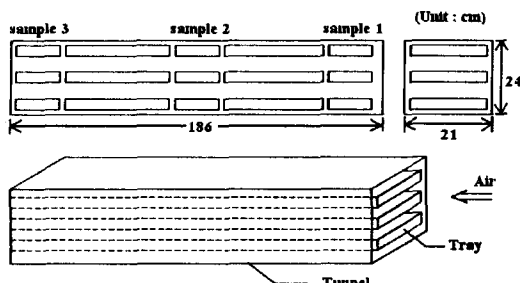


Fig.1 Specification and layout of experimental tunnel for tunnel drying

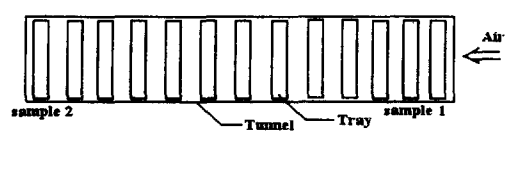


Fig.2 Layout of experimental tunnel for thick layer cabinet drying

트레이 밑면을 통한 건조효과를 알아보기 위하여 트레이와 바닥 사이에 공간을 둔 것과 두지 않은 것의 두 경우로 나누어 실험을 실시하였으며 온도는 3조건(66, 70, 80°C)으로 하였다. 건조실험에서 건공기의 상대습도는 모두 5% 미만으로 건조속도에 큰 영향을 주지 못하므로 분석 대상에서 제외하였다.

터널건조기와 상자형 건조기의 건조특성을 비교하기 위하여 비교자료로 상자형 건조 시뮬

레이션 모델의 예측결과를 이용하였으며, 그림 2와 같이 트레이를 설치하여 온도 2조건(70, 80°C)에서 모델의 검증을 위한 실험을 실시하였다. 상자형 건조 시뮬레이션에는 Bakker-Arkema 등(1974)이 제시한 고정층 건조과정을 지배하는 다음과 같은 4개의 편미분 방정식을 사용하였다.

$$\frac{\partial T}{\partial x} = \frac{-hA_s(T - \theta)}{G_a \cdot c_a + G_u \cdot c_v \cdot H} \quad (1)$$

$$\frac{\partial \theta}{\partial t} = \frac{hA_s(T - \theta)}{\rho_p(c_p + Mc_w)} + \frac{h_{fg} + c_v(T - \theta)}{\rho_p(c_p + Mc_w)} G_a \frac{\partial M}{\partial t} \quad (2)$$

$$\frac{\partial H}{\partial x} = -\frac{\rho_p}{G_a} \frac{\partial M}{\partial t} \quad (3)$$

$$\frac{\partial M}{\partial t} = a \text{ thin layer drying equation} \quad (4)$$

경계조건은 다음과 같다.

$$T(x, 0) = T_{in}, \quad \theta(x, 0) = \theta_0, \quad T(0, t) = T_{in}$$

$$H(x, 0) = H_{in}, \quad M(x, 0) = M_0, \quad H(0, t) = H_{in}$$

고추의 수분 평형을 나타내는 박충건조방정식으로는 조용진(1991)이 제시한 식 (5)를 사용하였다.

$$\frac{dM}{dt} = \frac{-3D_e}{d^2}(M - M_e) \quad (5)$$

$$D_e = AM^B$$

$$A = 0.000041492(1 - rh) \exp(0.0405465 \theta)$$

$$d = 0.01898 + 0.02684 M - 0.00227 M^2 + 0.01186 M m_b$$

위 모델의 해를 구하기 위해서는 고추의 평형함수방정식, 증발잠열방정식 및 물성값이 필요하며, 본 연구에서는 조용진(1991)이 제시한 방정식들을 사용하였다.

건조모델의 수치해를 구하기 위하여 식 (1),(2)를 사다리꼴 방법(Trapezoidal method)을 적용하여 다음과 같은 유한차분식으로 나타내었으며, 식 (5)는 4차 Runge-Kutta 방법을 적용하여 해를 구하였다.

$$\frac{T_{x+1}^{t+1} - T_x^{t+1}}{\Delta x} = \frac{-hA_s}{G_a(c_a + c_v H_{x+1}^{t+1})} [\frac{1}{2}(T_{x+1}^{t+1} + T_x^{t+1}) - \frac{1}{2}(\theta_{x+1}^{t+1} + \theta_x^{t+1})] \quad (6)$$

$$\begin{aligned} \frac{\theta_{x+1}^{t+1} - \theta_x^t}{\Delta t} &= \frac{hA_s}{\rho_p(c_p + c_w M_{x+1}^{t+1})} [\frac{1}{2}(T_{x+1}^{t+1} + T_{x+1}^t) - \frac{1}{2}(\theta_{x+1}^{t+1} + \theta_{x+1}^t)] \\ &+ \frac{(M_{x+1}^{t+1} - M_{x+1}^t)}{(c_p + c_w M_{x+1}^{t+1}) \Delta t} \left\{ h_{fg} + c_v \left[(\frac{1}{2}(T_{x+1}^{t+1} + T_{x+1}^t) - \frac{1}{2}(\theta_{x+1}^{t+1} + \theta_{x+1}^t)) \right] \right\} \end{aligned} \quad (7)$$

위의 유한차분식을 이용하여 해를 구하는 순서는 다음과 같다.

i) 시간을 Δt 충분한다.

ii) M_{x+1}^{t+1} 을 구한다.

iii) H_{x+1}^{t+1} 을 구한다.

iv) 식 (7)과 식 (8)를 연립하여 풀어 T_{x+1}^{t+1} 와 θ_{x+1}^{t+1} 을 구한다.

v) 깊이를 Δx 충분하여 전체퇴적층 깊이에 이를 때까지 ii)~iv) 단계를 반복한다.

vi) 목표 함수율에 이를 때까지 i)~v) 단계를 반복한다.

이 때, $\Delta t = 0.05(\text{hr})$, $\Delta x = 0.02(\text{m})$ 로 하였다.

3. 결과 및 고찰

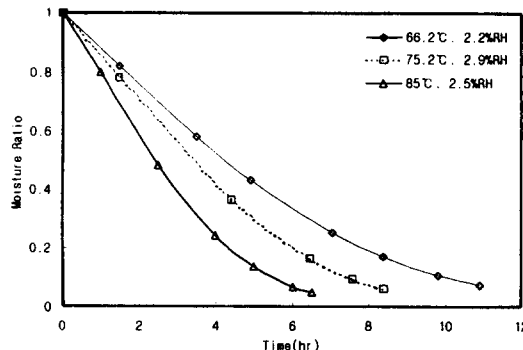


Fig.3 Measured average drying rates of tunnel drying at the air flow rate 3296kg/hr m³

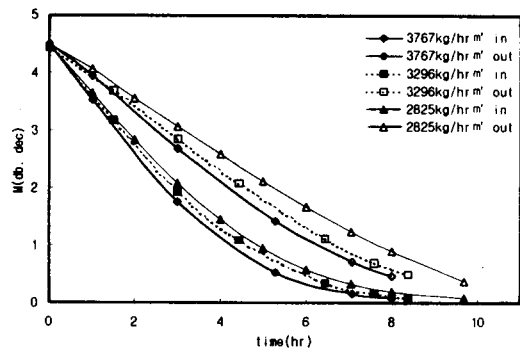


Fig.4 Measured moisture contents of tunnel drying at various drying conditions (76.4°C · 3797kg/hr m³, 75.2°C · 3296kg/hr m³, 74.1°C · 2825kg/hr m³)

그림 3은 질량유동이 동일할 때, 온도에 따른 터널건조기의 건조속도를 나타낸 것으로 온도가 높을수록 건조속도가 증가하는 경향을 보였다. 표 1에는 평균함수율의 함수율비가 1/2이 되는 반건조시간과 이 때의 입구와 출구 시료의 함수율차를 나타내었다. 결과에서 온도가 높을수록 건조속도와 길이방향의 함수율차가 증가하는 것을 알 수 있다. 그림 3은 온도가 약 75°C 일 때, 동일한 질량유동에서의 건조속도를 비교한 것이며, 이 때의 반건조시간과 길이방향 함수율차를 표 2에 나타내었다. 결과에서 질량유동이 증가할수록 건조속도는 증가하고 길이방향의 함수율차는 감소하는 것을 알 수 있다.

Table 1. Half drying time and moisture difference at the flow rate of 3296kg/hr m³

drying condition (kg/hr m ³)	half time (hr)	inlet moisture (db, dec)	outlet moisture (db, dec)	diff.
3767	3.02	1.757	2.675	0.918
3296	3.32	1.654	2.666	1.012
2825	3.9	1.506	2.631	1.125

Table 2. Half drying time and moisture difference at 75°C

drying condition	half time (hr)	inlet moisture (db, dec)	outlet moisture (db, dec)	diff.
66.5°C	4.25	1.838	2.656	0.818
75.2°C	3.45	1.776	2.623	0.847
85°C	2.42	1.531	2.633	1.102

그림 5는 트레이와 바닥 사이에 공간이 없는 단층 트레이(1-layer) 건조실험과 공간이 있는 3층 건조실험의 건조속도를 나타낸 것이다. 표 3에는 각 조건의 반건조시간과 두 방법간의 반건조시간 차이를 나타내었다. 결과에서 단층건조속도가 보다 느리게 나타났으며 온도가 커질수록 두 방법간의 건조속도차가 크게 나타났다. 따라서, 터널건조에서 트레이 밑면을 통한 건조효과도 건조속도에 큰 영향을 주는 것을 알 수 있으며, 트레이 다공판의 개구비를 크게 하는 것이 건조속도를 증가시키는 방법이 될 수 있을 것으로 판단된다.

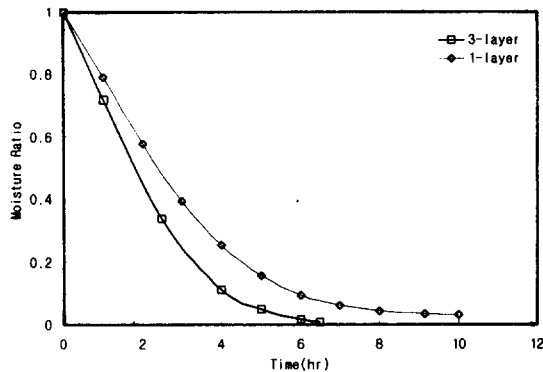


Fig.5 Drying rates of single layer and 3-layer drying at 85°C

Table 3. Half drying time and difference of 1-layer and 3-layer drying

drying condition	drying method	half time (hr)	diff. (hr)
77°C	1-layer	2.81	0.36
	3-layer	2.45	
85°C	1-layer	2.41	0.56
	3-layer	1.85	

그림 6은 중간층을 제거하여 트레이 간격을 크게 한 2층건조와 3층건조의 입구와 출구시료의 건조속도를 비교한 것이다. 질량유동이 2층건조에서 보다 큼에도 불구하고 전체적 건조속도가 비슷하게 나타나는 것으로 보아 건공기가 고추의 건조에 효과적으로 쓰이지 못함을 알 수 있다. 실험결과를 통해 트레이 간격이 커질수록 건조속도가 증가하지만은 않는다는 것을 알 수 있으며, 이 경우 3층건조에 투입된 고추의 양이 많으므로 트레이 간격을 작게하는 것이 보다 경제적인 것으로 판단된다.

그림 7은 상자형 시뮬레이션 모델의 검증실험 결과이며, 표 4는 이 때 상관계수(r^2)와 RMSE(Root Mean Square Error)를 나타낸 것이다. 실험결과와 예측결과는 비교적 잘 일치하는 것으로 나타났으며, 예측결과를 실험결과 대신 비교자료로 사용할 수 있을 것이다.

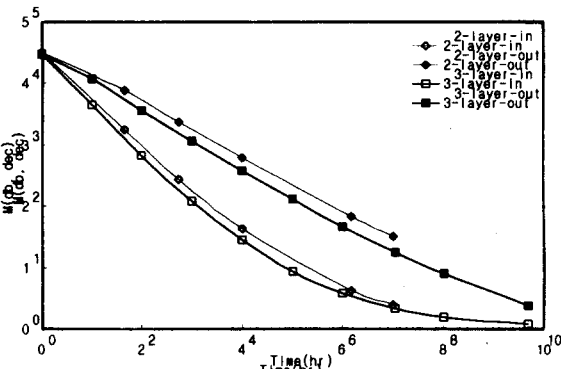


Fig.6 Drying rates of 2-layer(at 72.8°C, 3500 kg/hr m³) and 3-layer drying(at 74.1°C, 2825kg/hr m³)

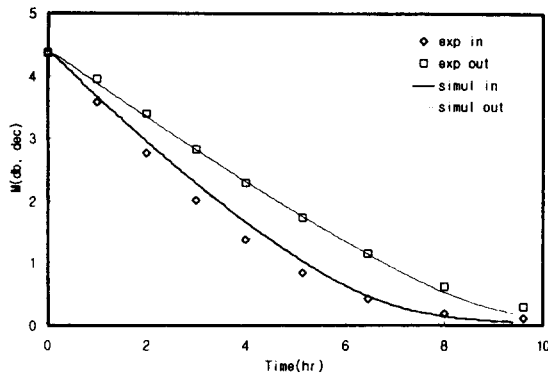


Fig.7 Measured and estimated moisture contents of the thick layer cabinet drying at 75.9°C

그림 8, 9는 상자형 시뮬레이션 모델을 이용하여 터널건조와 상자형 건조의 건조속도를 비교한 것이며, 표 5는 각각의 건조조건에서 평균함수율의 반건조시간을 구한 것이다. 결과에서 질량유동이 작은 때에는 두 결과가 비교적 일치하지만 질량유동이 커질수록 건조속도의 차이가 증가하여 터널건조의 건조속도가 상자형 건조의 건조속도보다 커지는 것으로 나타났다. 이것은 질량유동이 증가하면서 나타나는 유동의 변화때문으로 생각된다.

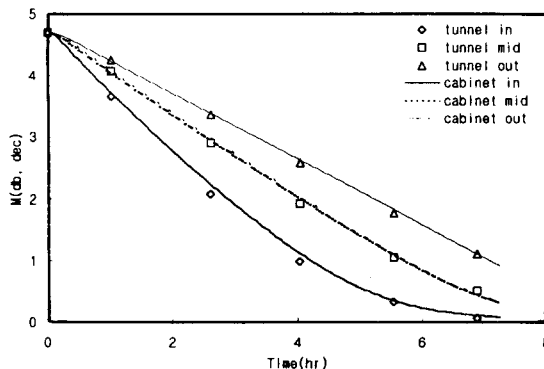


Fig.8 Measured thick layer cabinet drying rate and estimated tunnel drying rate at 81°C, 1962kg/hr m²

Table 4. r^2 and RMSE between measured andnd estimated moisture contents of thick layer cabinet drying

drying condition		r^2	RMSE
75.9°C, 1962kg/hr m ²	in	0.993	0.162
	out	0.999	0.054
83.4°C, 1962kg/hr m ²	in	0.999	0.057
	out	0.999	0.168

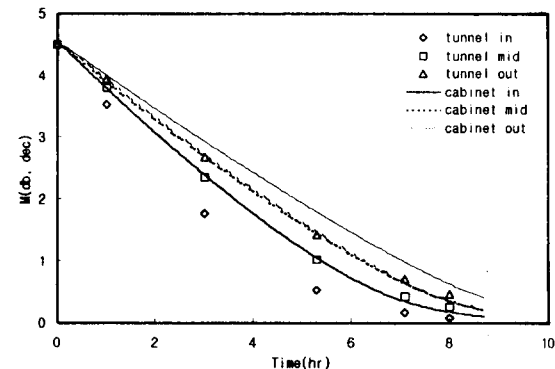


Fig.9 Measured thick layer cabinet drying rate and estimated tunnel drying rate at 76.4°C, 3767kg/hr m²

Table 6. Difference of half drying time between tunnel and cabinet drying

drying condition	half time(hr)	difference
81.0°C, 1962kg/hr m ²	tunnel	3.31
	cabinet	3.36
75.5°C, 2825kg/hr m ²	tunnel	3.45
	cabinet	3.68
84.9°C, 3296kg/hr m ²	tunnel	2.44
	cabinet	2.69
76.4°C, 3767kg/hr m ²	tunnel	3.02
	cabinet	3.75

건조실험에서 건조속도의 차이는 질량유동이 1962 kg/hr m^2 일 때 나타나기 시작했으며, 이 때 트레이 사이에서 관내유동에 대한 레이놀드 수(Re_{D_h})를 구해보면 다음과 같다.

$$V = 1962 \times \frac{0.24}{0.15} \times \frac{1}{1.09 \times 3600} = 0.8(\text{m/s})$$

$$D_h = \frac{4 \times 0.21 \times 0.05}{2 \times (0.21 + 0.05)} \approx 0.081(\text{m})$$

$$Re_{D_h} = \frac{VD_h}{\nu} = \frac{0.8 \times 0.081}{2.045 \times 10^{-5}} = 3168.7$$

이 값은 관내유동에서 난류로 천이되는 임계값과 비슷하다. 따라서, 건조속도의 차이는 난류의 영향 때문으로 생각되며 건공기의 유동이 난류유동으로 천이되면서 터널형 건조의 건조속도가 상자형 후총 건조의 건조속도보다 점점 커진다고 판단된다. 그러나 같은 규격의 송풍팬을 사용할 때, 터널형 건조기에서는 트레이 사이의 빈 공간 때문에 송풍저항이 감소하여 보다 큰 송풍량을 가질 수 있으므로 건조속도는 더욱 빠르다고 할 수 있다.

위의 비교결과에서 질량유동이 클 때, 터널건조의 건조속도가 상자형 건조의 건조속도보다 크게 나타났지만 그 차이는 크리 크지 않았으며 질량유동이 증가할수록 건조속도의 차이도 증가하는 경향을 보였다. 따라서 작은 오차범위 내에서 상자형 건조 시뮬레이션 모델은 터널건조기의 분석과 설계에 적용될 수 있을 것으로 보이며, 층류에서 완전히 발달한 난류영역에 이르는 질량유동의 범위에 대해 질량유동과 건조속도와의 관계가 구명된다면 보다 정확한 건조속도 예측 도구로서 이용될 수 있을 것으로 판단된다.

4. 요약 및 결론

본 연구에서는 터널건조기의 기본적 건조특성에 대해 알아보고 상자형 건조기와 비교는 것을 목적으로 하였으며, 비교결과를 이용하여 상자형 건조모델을 터널건조기에 적용할 수 있는 가능성에 대하여 살펴보았다.

터널건조기에서 온도가 높아질수록 건조속도와 길이방향 함수율차가 증가하는 경향을 보였으며, 질량유동이 증가할수록 건조속도는 증가하고 길이방향 함수율차가 감소하는 경향을 보였다. 그리고, 트레이 밀면을 통한 건조효과는 전체적 건조속도에 큰 영향을 주었으며, 트레이 간격이 변화할 때 간격의 크기와 건조속도가 비례하지만은 않는다는 사실을 알 수 있었다.

터널건조와 상자형 건조의 건조속도는 질량유동이 작은 범위에서는 비슷하지만 질량유동이 커질수록 건조속도의 차이가 발생하여 터널건조기의 건조속도가 빠르게 나타났다. 그러나, 그 차이가 주목할만한 수준은 아니므로 상자형 건조모델을 터널건조기의 분석, 설계에 이용할 수 있을 것으로 보이며, 질량유동과 건조속도의 관계가 구명되어 상자형 건조모델이 수정된다면 비교적 정확한 예측모델이 될 수 있을 것으로 판단된다.

<List of Symbols>

A_s	: 고추퇴적층의 비표면적 (m^2/m^3)	m_t	: 고추의 개체 건물중량 (g)
c_a	: 건공기의 비열 (kJ/kg K)	M	: 고추의 함수율 (dec. db)
c_b	: 고추의 비열 (kJ/kg K)	M_0	: 고추의 초기함수율 (dec. db)
c_v	: 수증기의 비열 (kJ/kg K)	M_e	: 고추의 평형함수율 (dec. db)
c_w	: 물의 비열 (kJ/kg K)	rh	: 공기의 상대습도 (dec.)
d	: 고추의 과피두께 (cm)	t	: 건조시간 (hr)
D_e	: 고추의 유효수분확산계수 (cm^2/hr)	T	: 건공기의 온도 (°C)
G_a	: 공기 질량유동률 ($kg/hr m^3$)	T_{in}	: 유입공기의 온도 (°C)
h	: 고추퇴적층의 대류열전달계수($kJ/hr m^2 K$)	x	: 고추퇴적층의 깊이 (m)
h_{fg}	: 고추의 수분증발잠열 (kJ/kg)	θ	: 고추의 온도 (°C)
H	: 절대습도	θ_0	: 고추의 초기온도 (°C)
H_{in}	: 유입공기의 절대습도	ρ_p	: 고추건물의 산물밀도 (kg/m^3)

5. 참고문헌

1. 강정문. 1998. 가공용 고추의 건조 시스템 개발에 관한 연구. 서울대학교 대학원 석사학위논문.
2. 금동혁, 최창현, 김수연. 1991. 고추 건조기의 개발에 관한 연구. 한국농업기계학회지 16(3) : 248-262.
3. 조용진. 1991. 고추의 건조과정 모형화 및 최적화에 관한 연구. 서울대학교 대학원 박사학위논문.
4. Kiranoudis, C. T. et al. 1996. Modeling and optimization of a tunnel grape dryer. Drying Technology, 14:1695-1718.
5. Kiranoudis, C.T. 1998. Design of batch grape dryers. Drying Technology 16(1&2) : 141-162.
6. Lee, D. S. and Y. R. Pyun. 1993. Optimization of operating conditions in tunnel drying of food. Drying Tehchnology 11(5) : 1025-1052.
7. Soponronnarit, S. 1988. Energy model of grain dryer system. Asean Journal on Science and Tehchnology for Development, 5(2):43-68.